

A. G. 2501. Panorámica de las areniscas, arcillas rojas y conglomerados (Ts_{G1}). Chequilla.



A.G. 2502. Detalle de las calizas oolíticas del Kimmeridgiense (J_{32}^{1-3}) en Alustante.



A.G. 2503. Panorámica de las calizas oolíticas del Kimmeridgiense (J_{32}^{1-3}) en la carretera de - Alustante a Trodesilos.



A.G. 2504. Detalle de los conglomerados, arcillas y calizas (C_{w14}) en Facies Weald en Alustante.



A.G. 2505. Detalle de las Facies Weald (conglomerados, arcillas y areniscas C_{w14}) en Alustante.



D.M. 3526. Detalle de las cuarcitas del Ordovici co Inferior (Oq_{12})en Sierra Menera.



D.M. 3527. Detalle de grauvacas del nivel (O_{21-22}) en Sierra Menera.



D.M. 3528. Detalle de pizarras negras (Op_{21-22}) en el M. del Nevero.



D.M. 3529. Panorámica de estructura anticlinal en la C.C. Orea-Checa.

1.- Pizarras negras (Op_{21-22})

2.- Cuarcitas (Oq_{21-22})



D.M. 3530. Detalle de las cuarcitas (Oq_{21-22}) el flanco O de la foto anterior.



D.M. 3531. Detalle de pizarras detriticas de la unidad (Os$_{21-22}$).



D.M. 3532. Panorámica de materiales del Ordovicico Medio-Sup. en el Km. 11,7 de la C.C. Orea-Checa.

1.- Pizarras negras con interc. de areniscas (Os_{21-22})

2.- Cuarcitas (Oq_{31-32})



D.M. 3533. Detalle de las cuarcitas de la foto anterior.



D.M. 3534. Detalle de areniscas rojas de la base de la unidad (Os_{31-32})



D.M. 3535. Detalle de las pizarras negras depositadas sobre las areniscas de la foto anterior (-(unidad Os_{31-32})



D.M. 3536. Cuñas plegadas en las cuarcitas existentes en la unidad (Os_{31-32}-S_1^A)



D.M. 3537. Detalle de la foto anterior.



D.M. 3538. Detalle de pizarras negras con interc. de cuarcitas del techo de la unidad (Os_{31-32}) en el Km. 14,7 de la C.C. Orea-Checa.



D.M. 3539. Panorámica del sinclinal existente en el Km. 13,7 de la C.C. Orea-Checa.

1.- Areniscas, cuarcita y pizarras negras (Os_{31-32})

2.- Cuarcitas (S_1^A).

3.- Pizarras negras ampeliticas (S_{1-2}^{A-B}).



D. M. 3540. Panorámica de las estructuras del Silurico Inferior Macizo del Tremedal.



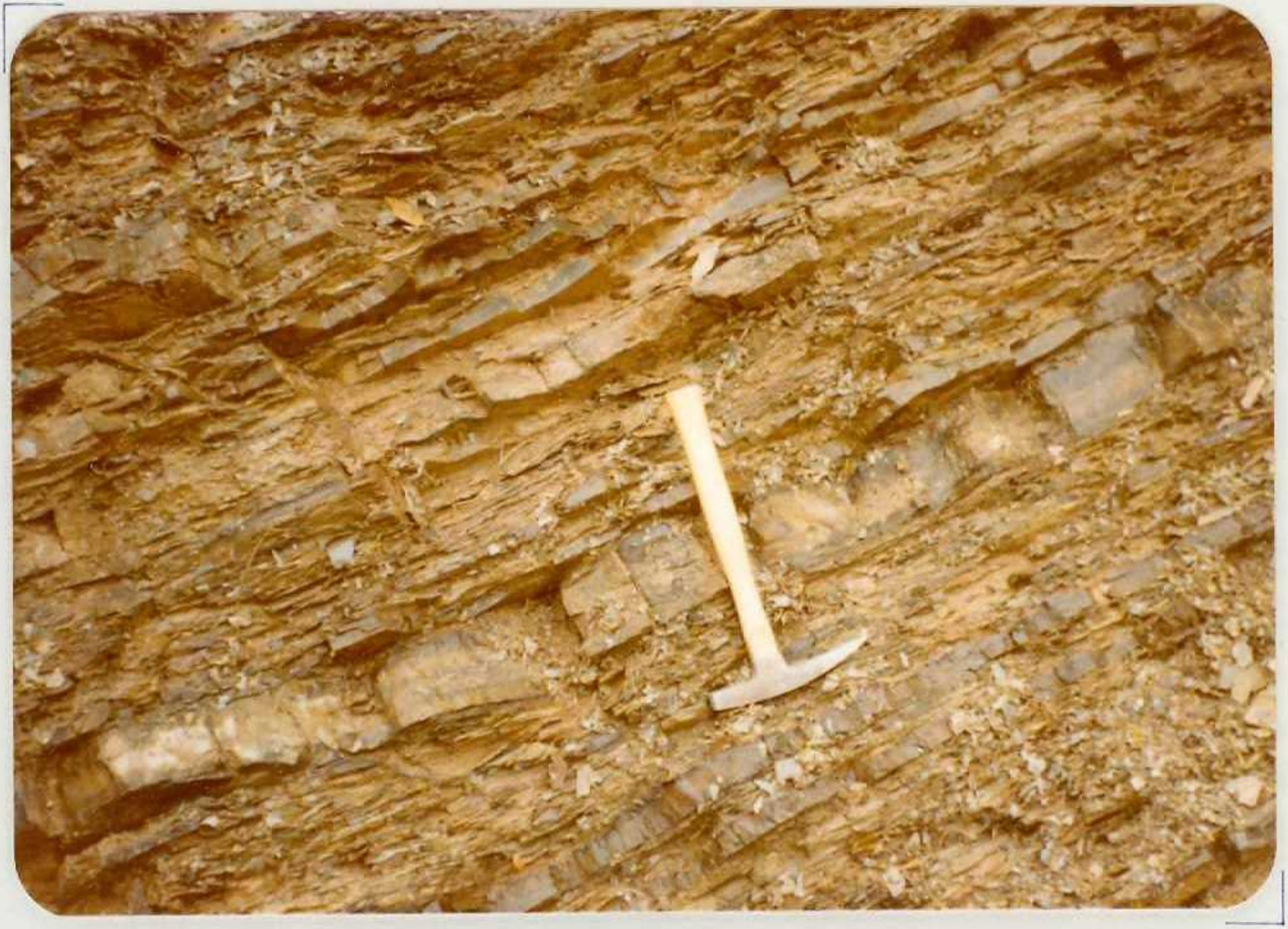
D.M. 3541. Detalle de las cuarcitas del Silurico Inferior (S_1^A) en las proximidades de Checa.



D.M. 3542. Vista parcial de pizarras negras con Graptolites, de la base de la unidad (S_{1-2}^{A-B}) en el Km. 14,8 de la C.C. Orea-Checa.



D.M. 3543. Detalle de pizarras negras ampeliticas cas de la foto anterior.



D.M. 3544. Detalle de alternancia de pizarras, - cuarcitas y areniscas (Formación Badenas) del techo de la unidad (S^{A-B}_{1-2}).



D.M. 3545. Panorámica de los materiales de la unidad (S^{A-B}_{1-2}) al Oeste de Checa.



D.M. 3546. Vista parcial de los depósitos del Silúrico Superior en el Km. 4 de la C.C. Checa-Pinilla de Molina:

1.- Alternancia pizarras, areniscas y cuarcitas del techo de la unidad (S^{A-B}_{1-2}).

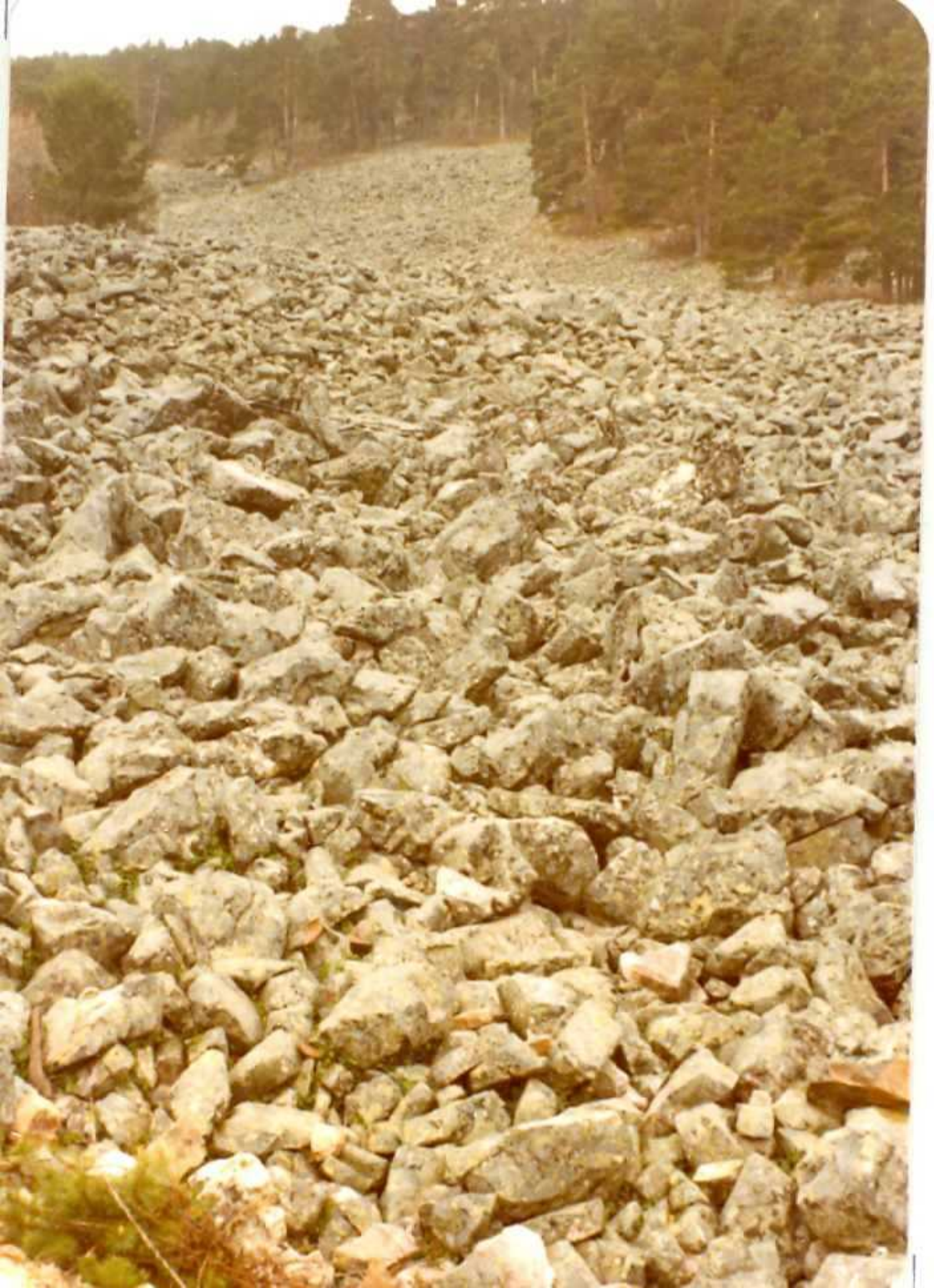
2.- Cuarcitas, areniscas - rojas y pizarras (Sq^{A-B}_{1-2})



D. M. 3547. Detalle de las cuarcitas de la unidad - (Sq^{A-B}_{1-2}) en la foto anterior.



D. M. 3548. Detalle de ripples-marks en niveles cuariticos de la unidad (Sq^{A-B}_{1-2}).



D.M. 3549. Panorámica de coluviones cuarciticos - de origen periglaciar en el Macizo del Tremedal - (Q Cl).



D. M. 3550. Detalle de la foto anterior.



D.M. 3551. Panorámica de rocas volcánicas de composición acida a media en la zona Sur de la localidad de Orihuela del Tremedal.



D.M. 3552. Detalle de la foto anterior.



D.M. 3553. Panorámica de rocas volcánicas de composición acida a media al Sur de Orea.



D.M. 3554. Detalle de la foto anterior.



M.T. 5201. Contacto Paleozoico - Facies Bunt-sandstein. Chequilla.



M.T. 5202. Conglomerados y arcillas rojas del -- Triásico Facies Buntsandstein (T_{G1}). Chequilla.



M.T. 5203. Detalle de los cantos cuarciticos del tramo basal de las Facies Bruntsandstein (T_{G1}). Chequilla.



M.T. 5204. Vista parcial de los conglomerados - cuarcíticos del tramo basal de las Facies Bunt-sandstein (T_{G1}). Chequilla.



M.T. 5205. Areniscas, arcillas rojas y conglomerados. Facies Buntsandstein (Ts_{G1}). Carretera de acceso a Chequilla.



M.T. 5206. Estratificación cruzada en las arenis<u></u>cas(Ts_{G1}) en las Facies Buntsandstein. Chequilla.



M.T. 5207. Detalle del tramo de Areniscas, arcillas rojas y conglomerados en Facies Buntsandstein(Ts_{G1}) Chequilla.



M.T. 5208. Arcillas vinosas y areniscas(Ta_{G1}) Facies Buntsandstein. Carretera de Orea a Checa.



M. T. 5209. Vista de conjunto de las arcillas vinosas y areniscas (Ta_{G1}), tramo final de las Facies Buntsandstein. Proximidades de Orea.



M.T. 5210. Dolomias de las Facies Muschelkalk (T_{G2}). Carretera de Checa a Orea.



M.T. 5211. Dolomias, margas y calizas dolomíticas en Facies Muschelkalk del Triásico (Tm_{G2}) Carretera de Orea a Orihuela del Tremedal.



M.T. 5212. Dolomias, margas y calizas dolomíticas en Facies Muschelkalk(Tm_{G2}). Proximidades de -- Orea.



M.T. 5213. Arcillas, margas y yesos (T_{G3}). Facies Keuper. Ermita de Santa Quitería.



M.T. 5214. Vista panorámica desde Chequilla. A-Paleozoico; B-Facies Buntsandstein; C-Facies Muschelkalk D-Facies Keuper; E-Depósitos Jurásicos.



M.T. 5215. Carniolas (T_{G3}-J_1). Dolomías tableadas en la base descansando sobre Facies Keuper Norte de Checa.



M.T. 5216. Carniolas (T_{G3}-J_1). Proximidades de - Orihuela del Tremedal.



M.T. 5217. Vista parcial de las calizas y dolomias tableadas (J^{0-2}_{1-13}) al Norte de Orihuela del Tremedal.



M.T. 5218. Calizas y dolomias tableadas Liásicas (J^{0-2}_{1-13}). Cerro de Rivagordilla.



M.T. 5219. Detalle de las calizas y dolomías tableadas (J_{1-13}^{0-2}). Cerro de Rivagordilla.



M.T. 5220. A-Calizas bioclásticas (J^{2-3}_{13}); B-Alternancia de margas y calizas (J^{3-3}_{13-14}). Carretera - Alustante-Orihuela.



M.T. 5221. Calizas bioclásticas y margas grises a la base (fuera de la fotografía) (J_{13}^{2-3}). Carretera de Orihuela a Santa Eulalia, en el límite E de la Hoja.



M. T. 5222. Panorámica parcial de la alternancia de calizas y margas (J^{3-3}_{13-14}). Carretera de Bronchales a Pozondon.



M. T. 5223. Detalle de las calizas y mar-
gas alternantes (J^{3-3}_{13-14}).del Lias. Carr.
Bronchales a Pozondon.



M.T. 5224. Vista parcial de A-las calizas y margas alternantes (J^{3-3}_{13-14}) y Calizas (J^{3-2}_{14-31}). Carretera de Bronchales a Pozondon.



M.T. 5225. Calizas del Dogger (J^{3-2}_{14-31}). Carretera de Bronchales a Pozondon.



M.T. 5226. Detalle de las calizas del Dogger -- (J^{3-2}_{14-31}). Carretera de Bonchales a Pozondon.



M.T. 5227. Panorámica de las calizas del Dogger (J^{3-2}_{14-31}). Hoyas del Enebral. En rojo dolinas.



M.T. 5228. Margas con intercalaciones calcáreas (J^{2-1}_{31-32}). Carretera de Alustante a Tordesilos.



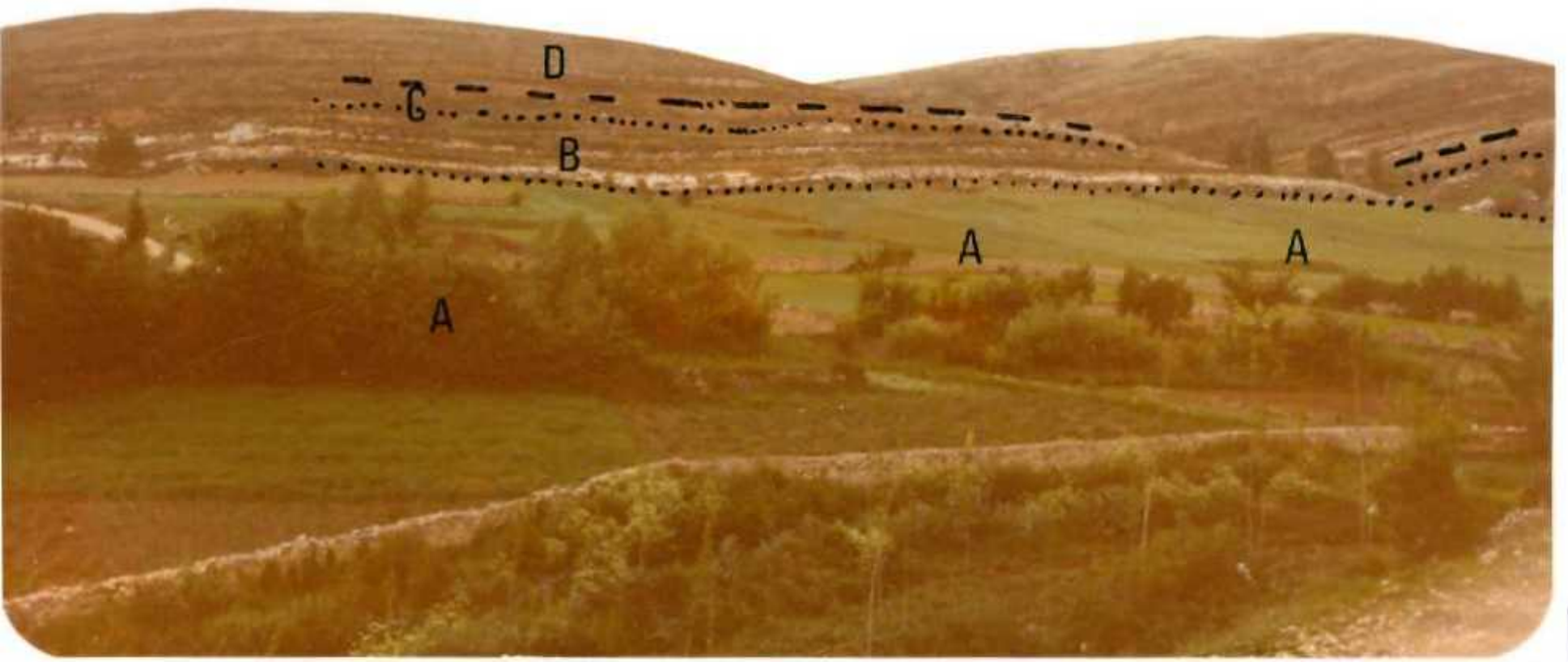
M.T. 5229. Detalle de las calcarenitas del Oxfordiense (margas con intercalaciones calcáreas -- J^{2-1}_{31-32}). Carretera Alustante a Tordesilos.



M.T. 5230. Calizas oolíticas (J_{32}^{1-3}). Tres Km. al Oeste de Piqueras.



M. T. 5231. Calizas oolíticas del Kimmeridgiense (J_{32}^{1-3}). Alustante.



M.T. 5232. Panorámica al Norte de Alustante -- A-Aluvial; B-Cretácico inferior; C-Cretácico Superior; D-Terciario



M.T. 5233. Vista parcial de los conglomerados, - arcillas y calizas en facies Weald (C_{w14}). Tres Km. al Oeste de Piqueras.



M.T. 5234. Vista panorámica de las facies Utrillas llas en primer término (C_{16-21}^{0-1}). Sur de Checa.



M.T. 5235. Vista parcial de las arenas en facies Utrillas(C_{16-21}^{0-1}). Piqueras.



M.T. 5236. Detalle de las arenas en facies Utrillas(C_{16-21}^{0-1}). Piqueras.



M.T. 5237. Margas y calizas con fauna del Cenomaniense (C_{21}^{2-3}). Sinclinal de Alustante-Piqueras-Alcoroches.



M.T. 5238. Detalle de las calizas de orbitolinas Cenomanienses (C_{21}^{2-3}). Ladera Sur del Cerro del - Villar.



M.T. 5239. Conjunto tableado de dolomías, dolomias margosas y calizas (C_{21-22}^{3-2}). Serie de Piqueras.



M.T. 5240. Detalle de las dolomias del conjunto tableado del Cenomaniense-Turoniense (C_{21-22}^{3-2}). Piqueras.



M.T. 5241. Calizas nodulosas con fauna. Turonien se (C_{22}^{2-3}). Piqueras.



M.T. 5242. Dolomias y calizas dolomíticas en capas gruesas (C_{23-26}). Piqueras.



M.T. 5243. Vista parcial de los conglomerados y arcillas Paleogenas ($T^{A-Ba}_{33-c_1}$). Norte de Alustante.



M.T. 5244. Discordancia de la Caliza oolítica - Kimmeridgiense (J_{32}^{1-3}) en primer término y los - conglomerados y arcillas Paleogenas (T_{33-c1}^{A-Ba}). - Noroeste de Alustante.



M. T. 5245. Discordancia Paleógeno-Neógeno -- (T^{A-Ba}_{33-c1}) ($T^{Ba-Bc}_{c_1-1}$) al Norte de Alustante.



M.T. 5246. Detalle de los conglomerados Mioceno ($T_{C_{1}-1}^{Ba-Bc}$) al Norte de Alustante.



M.T. 5247. Detalle de los conglomerados Calcareos ($T_2^B cg$). Carretera de Alustante a Tordesillos.



M.T. 5248. Arcillas con cantos cuarciticos (T_2^B). Carretera de Orihuela del Tremedal a Bronchales.



M.T. 5249. Detalle de las arcillas con cantos - cuarciticos (T_2^B). Entre Alcoroches y Alustante.



M.T. 5250. Travertinos junto a la margen del Río Cabrillas en la Ermita de San Sebastian.



M. T. 5251. Coluviales explotados junto al pueblo de Alcoroches.